

超 高 頻 鐵 氧 体

A.Г.古列維奇

科 学 出 版 社



73.175

73.175
155

超 高 頻 鐵 氧 体

A. Г. 古列維奇 著

李国栋 郑庆祺 张寿恭 合譯
翟清永 辛厚文

科 学 出 版 社

1963

Dtco / 18

А. Г. ГУРЕВИЧ

ФЕРРИТЫ НА СВЕРХВЫСОКИХ ЧАСТОТАХ

Государственное Издательство
Физико-математической литературы
Москва 1960

内 容 简 介

由于雷达、无线电中继通讯和射电天文所应用的超高频技术的发展，需要采用新的磁性材料——铁磁性半导体或铁氧体。目前有许多物理学家、无线电技术家、工艺学家和化学家在进行着这些材料在超高频波段的科学研究工作和实际应用的工作。

但是，到目前为止，在科学文献中还没有总结在超高频铁氧体的研究和应用方面所积累的丰富的实验和理论材料的书籍。A. Г. 古列维奇的这本书部分地填补了这一空白。

本书分为三部份。第一部份讨论铁氧体在超高频波段弱场中的磁性。第二部份叙述含有张量参量的介质的电动力学问题。第三部份讨论了在大幅度的交变磁场中出现的铁磁性半导体的非线性过程。

本书可作为在无线电物理和无线电技术、固体物理学和磁性材料工艺学领域中的广大科学技术工作者参考之用，亦可供高年级大学生和研究生教学之用。

超 高 频 铁 氧 体

A. Г. 古列维奇 著

李国栋 郑庆祺 张寿恭 合译
董清永 辛厚文

*

科学出版社出版 (北京朝阳门大街 111 号)

北京市书刊出版业营业登记证字第 061 号

中国科学院印刷厂印刷 新华书店总经售

*

1963 年 4 月第 一 版

书号 : 2693 字数 : 272,000

1963 年 4 月第一次印刷

开本 : 850×1168 1/32

(京) 0001—4,000

印张 : 10 1/2

定价 : 1.70 元

序

半导体在现代物理学和技术中起着日益增长的作用。除了那些具有较大的载流子自由程长度^[1]的半导体(例如锗和硅)以外,具有很小的自由程长度、因而电导率也很小的半导体也获得了广泛的应用。这些半导体中有许多是铁磁性的。

铁磁性半导体——铁氧体^{1)[18-25]}在技术和实验物理中有着很广泛的应用。铁氧体应用的最重要领域之一是超高频无线电技术。铁氧体的应用在这一技术领域前面揭示了新的远景,它可以解决一些在原则上或实际上用其他方法不能解决的问题。

阿尔卡捷夫(Аркадьев)远在1912年^[6, 21]就开始研究在迅速变化场中的铁磁体,这一工作在二十和三十年代中进行得很热烈。这些研究工作是对铁磁性金属进行的,并且基本上是在金属还可能实际应用的频段中进行的。同时,主要注意的是表面效应、涡流、即与金属的大电导率有关的现象。

在兰道(Ландау)和里弗西茨(Лифшиц)的工作^[66]中发展了不导电的铁磁性晶体的准经典理论。这一工作成了后来建立铁氧体在超高频波段所发生的过程的理论的基础。

非金属铁磁性物质的研究已经很久了。还在遥远的古代就知道了天然的铁的铁氧体——磁铁矿。人造的铁氧体最早是在1909年获得的^[39]。但是铁氧体的大力的研究仅仅是在四十年代才开始的。无线电技术的发展是这一研究的推动力。这时已要求要有比过去应用的薄片或细粉的金属材料在高频上更有效和生产上更简单的铁磁性材料。

1) 铁氧体从字面的狭义讲是指成分为 MFe_2O_4 (其中M为2价金属)的化合物。但是近来“铁氧体”一词越来越常用在广义上指铁磁性的半导体或电介质。本书亦将采用“铁氧体”的广义含意。

由于在荷兰(斯諾克(Snoek)^[1])、苏联(斯摩稜斯基(Смоленский)^[40, 41])和其他国家所进行的研究的結果，得到了具有很小的电导率和很好的、多种多样的磁性的鐵氧化物。它們在电技术和无线电技术的各种領域中、特别是在电视和电子計算机技术中，得到了广泛的应用。

我們都知道，在四十年代中还同时出現了超高頻技术的蓬勃发展，这一技术已被用到无线电定位(雷达)、无线电中繼通訊技术、射电天文、射电波譜学和其他技术及物理学領域中。超高頻技术在四十年代末的发展把两个新的問題提上了日程。其中之一是建立在超高頻波段上具有快速控制參量的系統。第二个問題是建立不滿足互易原理的系統，即对于不同的能量传播方向具有显著不同特性的系統。

一般說來，这些問題可以用許多方法来解决：第一种方法是利用电子的和气体放电的仪器、鐵电体；第二种方法是利用处于外磁场中的气体放电的等离子体和人造电介体。最后，这两个問題也可以利用鐵磁性材料来解决。只有最后一种方法能够同时保証实际上无限期使用、高度的时效稳定性、令人滿意的温度稳定性和利用不大的功率及不高的电压的外电源来控制超高頻的大功率。

由于強烈的表面效应，在超高頻波段应用鐵磁性金属不是有效的。而具有小的电导率的鐵磁性半导体——鐵氧化物却可以很有效地应用到这一波段。当有外加控制破壞存在时，就可以利用鐵氧化物来解决上述的两个問題。

这也正是大力地研究鐵氧化物在超高頻波段的性質的推动力，在五十年代之初，这些研究在世界上各个科学先进的国家內都有了发展。

还在四十年代之末，为阿尔卡捷夫^[21]，多尔弗曼(Дорфман)^[92]及兰道、里弗西茨^[66]从理論上所預見的、并稍早一些已在金属中发现^[22]的鐵磁共振，也在鐵氧化物中发现了^[145]。基特耳(Kittel)^[74]和其他的学者对这种共振的理論在考慮样品的形状和更完全地考慮晶体各向异性方面作了改进。

1951年罗勃尔茨(Roberts)^[30]从实验上得到了坡耳德尔(Polder)^[75]在稍早一些时候所预见的铁氧体中的法拉第效应，这一效应在后来获得了广泛的实际应用。随后若干年中，又发现了空腔系统(带有铁氧体的波导和谐振腔)中一系列其他的有意思的效果。同时还研究了含有这些材料的系统的电动力学基础。

利用所发现的一些效应来创制超高频波段的铁氧体器件^[24, 25]受到了特别巨大的注意。在整个的超高频波段(从毫米波到分米波)和在这一波段用到的所有功率水平，都创制出了这些器件。这些器件可以完成上述的两个问题方面的各种作用。在第一个问题方面有开关、调幅器、调相器、自动调整幅度和相位参量的器件和控制发生器频率的器件。在第二个问题方面则有隔离器、双工器件和其他的非互易器件。

铁氧体器件已稳固地进入了超高频波段的技术装置的武库。不采用这些器件，则雷达、射电天文学、无线电中继通讯技术的现代成就都是不可能的。

所有上面提到的铁氧体器件在下述的意义上说来都可以称为线性器件，这就是铁氧体的参量、因而也是整个器件的参量对于超高频电磁场说来，在一级近似中都是线性的。但是，在磁化的铁氧体中也发现了一系列有很大的原则上的和实用的意义的非线性现象。例如，倍频和变频，以及参量振荡和放大都属于非线性现象。有理由推断，超高频铁氧体放大器同其他参量放大器一样，将具有低的噪声因数。

由于长期的探索工作的结果，已经创制出了大量的可供超高频波段各个部分使用的铁氧体器件。除了技术中广泛应用的多晶体材料以外，在制备具有很窄的共振曲线的单晶体方面也获得了显著的进展。这些单晶体在非线性器件中得到了应用。

不过，要制造具有指定性质的材料的问题，仍然是铁氧体物理和技术中最复杂的問題。特别困难的是制造超高频的长波段(分米波)以及短的毫米波段用的材料。

这些问题的解决，与非线性过程的深入研究一样，只有在综合

了电动力学的(无线电技术的)研究方法和固体物理的方法的基础上才是可能的。另一方面，研究下面一些铁氧体的问题：铁氧体中化学键的本质、铁氧体中除了与迅变场有关的一些现象以外的磁性本质，也可以得到对于固体物理学有普遍意义的结果。特别是铁氧体中弛豫过程和非线性现象的研究，更是研究自旋波与晶格的相互作用的有效方法。

铁氧体在超高频场中的性能问题引起了在无线电物理和固体物理领域中工作的广大工程师们和物理学家们的注意。虽然是这样，但到现在还没有一本透彻地讲述这些问题的专著。本书便是企图在某种程度上填补这一空白。

本书分为三部分。第一部分讨论铁氧体在超高频波段弱场中的磁性(在一般情形下，铁氧体已被恒定的或变化相当缓慢的磁场所磁化)。

本书第二部分叙述含有张量参量的介质(已磁化的铁磁性半导体也属于这一类)的电动力学问题。除了这些介质的电动力学的一般原理以外，还引入了对于超高频技术有意义的若干现象的理论。书中研讨了电磁波在含有铁氧体的波导中的传播，以及含有铁氧体样品的谐振空腔的性质。

介质的张量磁导率在本书第二部分中作为已知量(从本书第一部分中知道的)。这样把微观和宏观的问题分开来就大大地简化了理论的构成。在大多数情形下，这一工作在含铁氧体的系统中才是可能的，而对于铁磁性金属就不相同，因为强烈的表面效应已不允许作这样的区分了。

本书第三部分讨论了在大幅度的交变磁场中出现的铁磁性半导体的非线性过程。

本书并不是综述性的书，尤其不是参考书。本书的任务是使读者了解铁氧体在超高频场中发生的一些主要过程，给读者在研究非常广泛的期刊文献和在这一领域从事实际工作时作准备。因为这个缘故，我们只限于研讨一些数目不多的特征性的现象，而照例在进行所有的中间的计算的时候略去了其中的细节，我们认为

这样的做法是适当的。

本书采用高斯单位系統。

书末列举的文献目录决不自命为是完备无缺的。这里只給出了本书中引用到的一些工作以及其他的一系列工作，熟悉这一系列的工作对于我們在研究本书所討論的問題时是有益处的。

作者知道，要对超高頻鐵氧体物理学这样一个新的和蓬勃发展的物理学部門作透彻的講述，这样的嘗試是不可能沒有許多缺点的。作者深為感謝地接受一切的意見和要求。

作者感謝物理数学博士斯摩稜斯基、技术科学副博士尼科耳斯基和物理数学副博士皮耳希科夫，感謝他們参与了有关本书中一些問題的討論和提出了宝贵的意見。

目 录

序.....	v
--------	---

第一部分 鐵氧化物在弱超頻場中的磁性

第一章 各向同性的飽和磁化的鐵氧化物.....	1
§ 1. 磁化率張量。鐵磁共振.....	1
§ 2. 未抵消的反鐵磁體中的鐵磁共振.....	11
§ 3. 自旋波.....	20
§ 4. 磁損耗。共振曲線的寬度.....	24
第二章 小橢球.....	33
§ 5. 磁化強度的一致進動.....	33
§ 6. 非一致進動類型.....	43
第三章 晶體各向異性的影响.....	52
§ 7. 單晶體中的鐵磁共振.....	52
§ 8. 多晶鐵氧化物.....	64
第四章 磁畴結構的影響.....	76
§ 9. 對諸磁畴求平均(不考慮在邊界上的退磁場).....	76
§ 10. 磁畴的磁相互作用.....	86
§ 11. 畴壁的振動.....	95

第二部分 在含有鐵氧化物的系統中的電磁振蕩與波

第五章 具有張量參量介質的電動力學的基本原理.....	101
§ 12. 麥克斯韦方程式及邊界條件.....	101
§ 13. 旋性介質的電動力學方程式.....	107
§ 14. 在恆磁場方向上隨坐標簡諧變化時的旋性介質.....	117
§ 15. 平方關係式。洛倫茲定理及烏莫夫-坡印廷定理的推廣.....	121
第六章 微擾法.....	129
§ 16. 微擾的基本公式.....	129
§ 17. 內場的準靜態近似.....	135

第七章 均匀平面波	141
§ 18. 无限旋性介质中的均匀平面波	141
§ 19. 纵向磁化介质中的平面波。法拉第效应	144
§ 20. 纵向磁化时分界面平面上波的反射和通过	151
§ 21. 横向磁化介质中的平面波	159
第八章 带有纵向磁化铁氧体的波导	166
§ 22. 任意截面的充满纵向磁化旋性介质的波导	166
§ 23. 充满铁氧体的圆波导	171
§ 24. 带有铁氧体杆的圆波导	177
第九章 带有横向磁化的铁氧体的矩形波导	186
§ 25. 充满横向磁化的铁氧体的波导	186
§ 26. 带有横向磁化铁氧体片的波导	192
§ 27. 带有一个片的波导	201
§ 28. 紧贴窄边放置铁氧体片的波导	213
第十章 带有铁氧体的谐振腔	219
§ 29. 含有张量参量介质的谐振腔的自由振荡	219
§ 30. 强迫振荡	225
§ 31. 带有铁氧体的谐振腔的计算	229

第三部分 非线性过程

第十一章 稳定的一致的非线性过程	243
§ 32. 检波和倍频	243
§ 33. 变频	250
第十二章 发生器和放大器	258
§ 34. 铁氧体发生器	258
§ 35. 再生放大器	272
§ 36. 铁氧体行波放大器	278
第十三章 强交变场下损耗的非线性增长	285
§ 37. 非稳定性临界值	285
§ 38. 在比临界值大的场下的稳定状态	295
参考文献	299
人名对照	323

第一部分 鐵氧化物在弱超頻場中的磁性

第一章 各向同性的飽和磁化的鐵氧化物

§ 1. 磁化率張量。鐵磁共振

在超頻波段中，鐵磁性半導體——鐵氧化物是在這一波段的交變磁場和恆定（或變化相當緩慢）的磁場同時作用下應用的。如果交變磁場和交變磁化強度足夠小，那麼，在它們的分量的復振幅之間應當有線性關係：

$$\left. \begin{aligned} m_x &= \chi_{11}h_x + \chi_{12}h_y + \chi_{13}h_z, \\ m_y &= \chi_{21}h_x + \chi_{22}h_y + \chi_{23}h_z, \\ m_z &= \chi_{31}h_x + \chi_{32}h_y + \chi_{33}h_z. \end{aligned} \right\} \quad (1.1)$$

這些關係式可以簡短地寫成下面的形式：

$$m = \overleftrightarrow{\chi} \overrightarrow{h}, \quad (1.1a)$$

其中 $\overleftrightarrow{\chi}$ 為物質相對於交變場的磁化率張量。這一張量的分量與交變場的頻率 ω 和恆定磁場 H_0 的大小有關。

在本書第一部分和第二部分中，我們將考察的正是這一種情形——交變場足夠小，以致可以引用與交變場振幅無關的物質的磁化率 $\overleftrightarrow{\chi}$ 。

在第一章中，我們將考察理想的、各向同性的（在沒有恆定磁場 H_0 時）不導電的鐵磁介質。對這種介質來說，當 $H_0 = 0$ 時，磁化率為標量。正如我們將見到的，加上磁場 H_0 會使 $\overleftrightarrow{\chi}$ 變為張量。這一張量的第一個特點是它的不對稱性。正是這種不對稱性才有可能實現不滿足互易原則的超頻器件。

磁化的鐵磁體的磁化率張量的第二個特點是鐵磁共振。鐵磁

共振可归结为张量 χ 的某些分量与 ω 和 H_0 的关系遵从共振定律。在一定的 ω (如果 $H_0 = \text{常数}$) 或 H_0 (如果 $\omega = \text{常数}$) 的情形下, 这些分量的虚数部分为最大值, 这相应于物质中的磁损耗为最大值。同时还产生这些分量的实数部分的频散。

理论的任务首先是要解释铁磁体磁化率张量的这些特点。

从量子力学的观点出发, 可以很简单地解释铁磁共振现象。如所周知, 铁磁性是由处于原子或离子的“未充满”的 $3d$ 壳层或 $4f$ 壳层中的电子的未抵消的自旋磁矩所决定的^[7]。由于这些电子间的交换作用^[5], 所有电子的自旋矩彼此平行取向的状态成为能量上有利的状态。

如所周知^[7], 相对于空间的某一从尤方向, 特别是磁场 H_0 的方向, 只可能有两种自旋取向: 平行和反平行。这两种取向的能量差为

$$\Delta W = 2m_{\text{自旋}}H_0,$$

其中 $m_{\text{自旋}}$ 为自旋磁矩。这样, 便有两个为间隔 ΔW 分开的能级。

在没有热运动(当温度为 0°K)时, 所有自旋处于下面的能级, 即在均匀的、各向同性的饱和磁化的铁磁体情形下, 是沿着磁场 H_0 取向的。为了跃迁到上面的能级或使自旋“颠倒”, 就需要 ΔW 的能量。这一能量可以由热运动或电磁场的量子转移过来。在后一种情形下, 跃迁将在量子能量为 ΔW 的时候发生, 即是

$$\hbar\omega_0 = 2m_{\text{自旋}}H_0, \quad (1.2)$$

其中 $\hbar = \frac{h}{2\pi}$, 而 $h = 6.6238 \times 10^{-27}$ 尔格·秒, 即为普朗克常数。

由此可知, 铁磁体对电磁场能量的强烈吸收, 即铁磁共振, 将在满足(1.2)的条件时发生。

自旋磁矩等于一个玻尔磁子:

$$m_{\text{自旋}} = \mu_B = \frac{\hbar e}{2mc},$$

其中 $e = 4.8022 \times 10^{-10}$ 静电单位, 为电子的电荷, $m = 9.1072 \times 10^{-28}$ 克, 为电子的静质量, $c = 2.9979 \times 10^{10}$ 厘米/秒, 为光速。

考慮了这点以后,由(1.2)式可得到

$$\omega_0 = \gamma_{\text{自旋}} H_0, \quad (1.3)$$

其中电子自旋的迴轉磁比率为:

$$\gamma_{\text{自旋}} = \frac{e}{mc} = 1.7653 \times 10^7 \frac{1}{\text{奥}\cdot\text{秒}},$$

自旋的力学矩等于 $\frac{\hbar}{2}$, 由此可明显看出, $\gamma_{\text{自旋}}$ 具有磁矩对力学矩的比值的意义¹⁾. 我們注意到, 电子的轨道磁矩在铁磁性中也起着一定的作用. 这时共振条件(1.2)仍然有效, 但 $\gamma_{\text{自旋}}$ 变为

$$\gamma = \frac{eg}{2mc}, \quad (1.4)$$

其中 g 是所謂的頻譜裂距因子, 一般說來, 它不等于 2. 正如基特耳曾經證明的^[94], 这時應當滿足下面的關係:

$$g - 2 = 2 - g', \quad (1.5)$$

其中 g' 为由爱因斯坦-德哈斯(Einstein-de Haas)或巴爾納脫(Barnett)迴轉磁實驗中得到的磁-力因子^[17].

把量子力学的工具应用到上述的模型, 可以建立铁磁共振的定量理論^[75, 93, 96]. 在这理論的范围内可以考慮一系列还未探討过的因素: 磁晶各向异性的影响、磁偶极子相互作用(即退磁场)的影响等等. 不过, 所有这些因素利用所謂唯象的方法, 或更准确地說准經典的方法来考慮是非常简单和完善的.

准經典的方法考慮了这些因素之后, 不仅可以得到铁磁共振的条件, 而且可以得到磁化率张量分量与 ω 和 H_0 的关系的完全表达式. 这一方法还在 1935 年就由兰道和里弗西茨^[66]提出来了, 以后又由基特耳^[74]和坡耳德尔^[75]加以发展, 在本书第二部分和第三部分中将广泛采用这方法. 但是必須指出, 某些問題, 例如磁損耗的本質(§ 4), 显然是不能利用这一方法进行分析的, 而要求量子力学的解释.

1) 自旋磁矩和力学矩的方向相反, 因此它们的比值为負数. 我們經常把 γ 了解为这一比值的絕對值.

現在，我們轉到准經典方法的論証。我們將把每一參與鐵磁性的電子自旋當作一個具有力學矩（動量矩） \mathbf{s}_1 和磁矩 \mathbf{m}_1 的粒子。在磁場 \mathbf{H} 中將有一力矩 $\mathbf{m}_1 \times \mathbf{H}$ 作用到這粒子上。不考慮粒子的平移運動時，其運動方程式可寫成下面的形式：

$$\frac{d\mathbf{s}_1}{dt} = \mathbf{m}_1 \times \mathbf{H}_{\text{有效}}. \quad (1.6)$$

這裡 $\mathbf{H}_{\text{有效}}$ 是作用到粒子磁矩上的總的有效磁場。

我們注意到下面的量子力學的關係：

$$\mathbf{m}_1 = -\gamma \mathbf{s}_1, \quad (1.7)$$

其中 γ 由(1.4)式所決定。考慮了(1.7)式後，方程式(1.6)可寫作：

$$\frac{d\mathbf{m}_1}{dt} = -\gamma \mathbf{m}_1 \times \mathbf{H}_{\text{有效}}. \quad (1.8)$$

在(1.8)式兩邊乘以單位體積中所研究的基元粒子數目 N ，便得到蘭道-里弗西茨方程式^[66]：

$$\frac{d\mathbf{M}}{dt} = -\gamma \mathbf{M} \times \mathbf{H}_{\text{有效}}, \quad (1.9)$$

其中 $\mathbf{M} = N\mathbf{m}_1$ 為物質的宏觀磁化強度，即單位體積的磁矩。

在以上的推論中，我們是從單個電子自旋運動這一不正確的觀念出發的。不過最後的聯繫宏觀量的方程式(1.9)卻是正確的。利用更嚴格的量子力學方法^[3]也可以得到這一方程式。

在(1.8)和(1.9)中引用的磁場 $\mathbf{H}_{\text{有效}}$ 包括實際的磁場和考慮各種形式的相互作用引起的有效場。對於飽和磁化的各向同性的介質

$$\mathbf{H}_{\text{有效}} = \mathbf{H} + \mathbf{H}_{\text{交換}}, \quad (1.10)$$

其中 \mathbf{H} 為內磁場（對於無限介質，即當退磁作用不存在時，內磁場與外磁場相同），而 $\mathbf{H}_{\text{交換}}$ 為交換作用的有效場。這一有效場也包含有兩項：

$$\mathbf{H}_{\text{交換}} = \mathbf{H}_\lambda + \mathbf{H}_q. \quad (1.11)$$

第一項

$$\mathbf{H}_\lambda = -\lambda \mathbf{M}_0 \quad (1.12)$$

是所謂的“分子場”或外斯(Weiss)場。對於立方點陣的晶體來說，

常数 λ 可以近似地写作^[5]:

$$\lambda = \frac{2AN}{M_0^2}, \quad (1.13)$$

其中 A 是所謂的交換积分，即一个自旋的交換作用的能量，而 M_0 是飽和磁化強度。注意常数 λ 与居里温度 T_k 之間的联系如下^[5]:

$$\lambda = \frac{kT_k N}{M_0^2}, \quad (1.14)$$

其中 $k = 1.37 \times 10^{-16}$ 尔格/度，为玻耳茲曼常数。根据(1.14)式来估計实际感兴趣的鐵磁体(其中也包括鐵氧体)，会得到很大的 H_λ 值——約 10^7 奥。但是，磁场 H_λ 平行于磁化強度 M ，故不会进入磁化強度的运动方程式(1.9)中。

有效場(1.11)的第二項表示如下^[5]:

$$H_q = q\nabla^2 M. \quad (1.15)$$

对于立方点陣的晶体來說，因子 q 可以写成下面的形式:

$$q = \frac{2ANa^2}{M_0^2} = \lambda a^2, \quad (1.16)$$

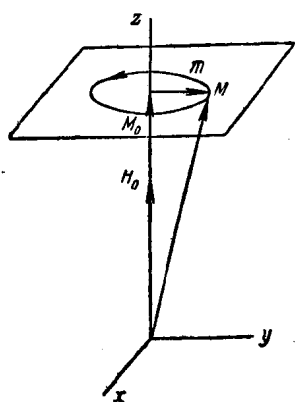
其中 a 是点陣常数。

(1.15)式的磁场中考慮了相邻自旋不平行、即 M 在空間中有变化的情形下产生的附加的交換能。 q 因子的数量級为 10^{-9} 。因此，只有当磁化強度在空間中有着这样迅速的变化，即磁化強度在約 10^{-5} 厘米或更小的距离內有显著改变的情形下，才应当考慮这一磁场。磁化強度的如此剧烈的变化发生在例如畴壁中(§9)。在导电良好的金属界面上也必須考慮 (1.15) 式的磁场，因为在这样的界面上強烈的表面效应引起了 M 在空間中的迅速变化。如在 § 3 中将要指出的，在鐵氧体中也可能存在着具有这样短的波長的磁化強度的非一致进动类型，使得必須注意(1.15)式的磁场。現在我們將研究飽和磁化的鐵氧体中磁化強度的一致进动。这时就可以不考慮(1.15)式这一項。

于是在方程式(1.9)中只引入磁场 H ，这方程式便写作:

$$\frac{dM}{dt} = -\gamma M \times H. \quad (1.17)$$

首先研究沒有交变磁场时磁化强度的本征振动。令直角坐标



系統的軸的取向为 z 軸与外加恒定磁场 H_0 和恒定磁化强度 M_0 相一致(因为介质是各向同性和饱和磁化的, 故这两个矢量平行)。設振动为简谐振动, 则可写成

$$H = z_0 H_0, \quad (1.18)$$

$$M = z_0 M_0 + m_0 e^{i\omega_0 t}, \quad (1.19)$$

其中 z_0 为 z 軸方向的单位矢量, 而 m_0 为必须决定的交变磁化强度的复振幅。

图1. 在小振幅的交变磁化强度情形下磁化强度矢量的进动。

把方程式 (1.17) 对坐标轴投影, 并考虑 (1.18) 和 (1.19) 式, 便得到:

$$\begin{cases} i\omega_0 m_x + \gamma H_0 m_y = 0, \\ -\gamma H_0 m_x + i\omega_0 m_y = 0, \end{cases} \quad (1.20)$$

$$m_x = 0, \quad (1.21)$$

其中 m_x , m_y 和 m_z 为矢量 m_0 的投影。

(1.20) 方程组联立的条件(其行列式等于零)得出本征振动频率的公式为:

$$\omega_0 = \omega_H \equiv \gamma H_0, \quad (1.22)$$

这一频率同前面从完全另外的观点——微观的、量子的考虑所得的共振频率 ω_0 的公式是一致的。

将 (1.22) 式代入方程组 (1.20) 之一内, 可得到

$$m_y = -im_x. \quad (1.23)$$

从 (1.21) 和 (1.23) 式可知, 矢量 M 的本征振动是这一矢量端点绕恒定磁化强度 M_0 的右旋¹⁾(进动)。矢量 M 的端点这时是在垂直于 M_0 的平面内按圆形轨道运动(图 1)。

現在再轉而研究磁化强度的小的强迫振动。磁场可写作如下

1) 参阅第 10 頁的脚注。

的形式：

$$\mathbf{H} = \mathbf{H}_0 + \mathbf{h} e^{i\omega t}, \quad (1.24)$$

其中 $\mathbf{H}_0 = \mathbf{z}_0 H_0$, 而 $\mathbf{h} = \mathbf{x}_0 h_x + \mathbf{y}_0 h_y + \mathbf{z}_0 h_z$ 为我們当作已知的交变磁场。所求的磁化强度将为下面的形式

$$\mathbf{M} = \mathbf{M}_0 + \mathbf{m} e^{i\omega t}. \quad (1.25)$$

与未作磁化强度的交变分量很小的假設时所研究的本征振动不同的是，現在我們假設

$$m \ll M_0, \quad h \ll H_0.$$

将(1.24)和(1.25)式代入方程式(1.17)中，略去二级小量的项，并注意到 $\mathbf{M}_0 \times \mathbf{H}_0 = 0$, 便得到 \mathbf{m} 的方程式：

$$\frac{d\mathbf{m}}{dt} + \gamma \mathbf{m} \times \mathbf{H}_0 = -\gamma \mathbf{M}_0 \times \mathbf{h}. \quad (1.26)$$

把方程式(1.26)对坐标轴投影，考慮(1.22)式的記号后得到：

$$\left. \begin{array}{l} i\omega m_x + \omega_H m_y = \gamma M_0 h_y, \\ -\omega_H m_x + i\omega m_y = -\gamma M_0 h_x, \\ i\omega m_z = 0. \end{array} \right\} \quad (1.27)$$

由此得出：

$$\left. \begin{array}{l} m_x = \frac{M_0}{H_0} \frac{\omega_H^2}{\omega_H^2 - \omega^2} h_x + \frac{M_0}{H_0} \frac{i\omega\omega_H}{\omega_H^2 - \omega^2} h_y, \\ m_y = -\frac{M_0}{H_0} \frac{i\omega\omega_H}{\omega_H^2 - \omega^2} h_x + \frac{M_0}{H_0} \frac{\omega_H^2}{\omega_H^2 - \omega^2} h_y, \\ m_z = 0. \end{array} \right\} \quad (1.28)$$

这样，小交变磁场的纵分量 h_z 并不引起交变磁化强度。而横分量 h_x 和 h_y 却不仅引起平行于相应的磁场分量的交变磁化强度的横分量，而且也引起垂直于相应的磁场分量的交变磁化强度的横分量。显然，(1.28)式可以表示为(1.1a)的形式，而且磁化率 χ 为下列形式的张量：

$$\overset{\leftrightarrow}{\chi} = \begin{vmatrix} \chi & i\chi_a & 0 \\ -i\chi_a & \chi & 0 \\ 0 & 0 & 0 \end{vmatrix} \quad (1.29)$$

这里